



α -FeOOH与 Ag_3PO_4 异质结复合材料的制备及光催化性能

陈 龙,吴小平,崔 灿

(浙江理工大学材料科学与工程学院,杭州 310018)

摘要:针对磷酸银(Ag_3PO_4)和羟基氧化铁(α -FeOOH)等材料因光生载流子复合速率过快而导致光催化性能差的问题,通过制备 α -FeOOH与 Ag_3PO_4 的异质结复合材料(α -FeOOH@ Ag_3PO_4)来促进光生载流子的分离,从而提升材料的光催化性能。采用简单的水热法制备由纳米片组成的具有分级结构的 α -FeOOH微球,然后使用原位沉积工艺将 Ag_3PO_4 颗粒均匀沉积在 α -FeOOH微球表面,制备得到 α -FeOOH@ Ag_3PO_4 ;分析所得异质结复合材料的微观结构、光吸收性能、亚甲基蓝降解性能和光电性能。结果表明:具有分级结构的 α -FeOOH微球有利于 Ag_3PO_4 颗粒沉积, Ag_3PO_4 颗粒粒径为3~8 nm; α -FeOOH@ Ag_3PO_4 吸收边发生红移,光电性能显著增强; α -FeOOH@ Ag_3PO_4 的光催化效率是 α -FeOOH的75.0倍,是 Ag_3PO_4 的1.8倍; α -FeOOH@ Ag_3PO_4 是Type-II型半导体异质结,光生载流子在异质结界面有效分离,提高了光催化效率和材料的稳定性。 α -FeOOH@ Ag_3PO_4 具有较强的光催化活性,在光催化治理水污染领域有着广阔的应用前景。

关键词: Ag_3PO_4 ; α -FeOOH; 光催化; 异质结; 降解

中图分类号: TB33

文献标志码: A

文章编号: 1673-3851(2023)11-0691-10

引文格式: 陈龙,吴小平,崔灿. α -FeOOH与 Ag_3PO_4 异质结复合材料的制备及光催化性能[J].浙江理工大学学报(自然科学),2023,49(6):691-700.

Reference Format: CHEN Long, WU Xiaoping, CUI Can. Fabrication of an α -FeOOH and Ag_3PO_4 heterojunction composite and its photocatalytic performance[J]. Journal of Zhejiang Sci-Tech University, 2023, 49(6): 691-700.

Fabrication of an α -FeOOH and Ag_3PO_4 heterojunction composite and its photocatalytic performance

CHEN Long, WU Xiaoping, CUI Can

(School of Materials Science & Engineering, Zhejiang Sci-Tech University, Hangzhou 310018, China)

Abstract: Aiming at the poor photocatalytic performance of such materials as Ag_3PO_4 and α -FeOOH due to the rapid recombination rate of photo-generated carriers, we fabricated the heterojunction composite α -FeOOH@ Ag_3PO_4 with α -FeOOH and Ag_3PO_4 to facilitate the separation of photogenerated carriers, and to improve the composite's photocatalytic performance. Firstly, hierarchically structured α -FeOOH microspheres composed of nanoflakes were prepared by simple hydrothermal method, and then Ag_3PO_4 nanoparticles were uniformly deposited on the surface of α -FeOOH microspheres by in-situ deposition process to prepare α -FeOOH@ Ag_3PO_4 . The microstructure, light absorption, photocatalytic performance and photoelectric properties of α -FeOOH @ Ag_3PO_4 were investigated. The results show that the hierarchically structured α -FeOOH microspheres are beneficial for the deposition of Ag_3PO_4 particles with a size of 3~8 nm. The absorption edge of α -FeOOH@ Ag_3PO_4 is expanded to visible-light region and

induces improved photoelectric response. Furthermore, $\alpha\text{-FeOOH@Ag}_3\text{PO}_4$ exhibits a better photocatalytic performance, which is 75.0 times that of $\alpha\text{-FeOOH}$ and 1.8 times that of Ag_3PO_4 . It is also concluded that $\alpha\text{-FeOOH@Ag}_3\text{PO}_4$ is a Type-II heterojunction composite, which can promote the photogenerated charge carrier separation and transfer, and hence result in high photocatalytic activity and stability. In summary, $\alpha\text{-FeOOH@Ag}_3\text{PO}_4$ has strong photocatalytic activity and broad application prospects in the field of photocatalytic treatment of water pollution.

Key words: Ag_3PO_4 ; $\alpha\text{-FeOOH}$; photocatalyst; heterojunction; degradation

0 引言

工业生产中排放的废水通常含有重金属离子和有机污染物,严重危害生态环境和人类身体健康^[1]。因此,水污染治理已成为社会关注的重要问题。常用于处理污水的方法主要有生化法、过滤法、物理法、离子交换法、化学法吸附法和半导体光催化氧化法等,其中半导体光催化氧化法因反应条件简易、光源丰富、二次污染小而受到工程界的关注。

自 20 世纪 70 年代以来,光催化技术在水污染治理和能源转换领域(分解水制氢、还原二氧化碳)取得了显著成果^[2-3]。然而,光催化材料的弊端也十分明显,例如:大部分光催化材料还存在光吸收范围窄,只能吸收波长较短的光;光生载流子复合快,受激发的载流子只有部分被利用等。因此,许多光催化材料还停留在实验室研究阶段,不能大规模应用。针对以上问题,研究者们提出了一系列改进措施,常见的有贵金属沉积、金属离子掺杂、半导体复合等。半导体复合是将两种或多种具有不同能级的材料复合形成异质结,利用异质结材料之间的能级差,拓宽光吸收范围,从而有效提高光生电荷的迁移效率,实现光生电子和空穴的分离。

磷酸银(Ag_3PO_4)具有出色的光催化性,近年来备受科研工作者们的重视^[4-7]。 Ag_3PO_4 形貌多样,常见的有分级多孔结构、树枝状、纳米棒、四足状和球形颗粒等。作为一种高效光催化材料, Ag_3PO_4 在太阳能转化和光催化降解有机污染物等领域有着显著优势,其在可见光的下量子效率可以达到 90%。 Ag_3PO_4 具有较窄的禁带宽度(约为 2.4 eV),可以吸收波长小于 520 nm 的可见光,且其价带位置较低,产生的光生空穴的氧化能力很强,在降解有机污染物方面表现出了强活性^[8-10]。然而, Ag_3PO_4 虽然有很好的应用潜力,但其稳定性较差,在光催化过程中会发生严重的光腐蚀现象,使其在使用过程中会出现较大的损耗。此外,银基材料高昂的生产成本和使用成本也很大程度上限制了大规

模生产和应用^[11-12]。

研究表明,铁氧化物在 200~800 nm 范围内有较强的光吸收能力^[13-15]。羟基氧化铁是自然界中广泛存在的铁矿物,因其无毒、成本低、耐腐蚀等特点而受到广泛关注^[16]。关于羟基氧化铁,熟知的主要有三种,分别为针铁矿($\alpha\text{-FeOOH}$)、赤铁矿($\beta\text{-FeOOH}$)和纤铁矿($\gamma\text{-FeOOH}$)。 $\alpha\text{-FeOOH}$ 是三者之中最为常见的一种铁矿物,具有相对较窄的带隙(2.1 eV)、可以吸收波长小于 600 nm 的光以及光稳定性等优点^[17-18]。但是, $\alpha\text{-FeOOH}$ 虽然在可见光区域有很高的光吸收能力,但是受激产生的光生电子空穴对复合率高,光催化效率低下^[19-20]。

针对 Ag_3PO_4 和 $\alpha\text{-FeOOH}$ 因光生载流子复合速率过快而导致光催化性能差的问题,本文制备了 $\alpha\text{-FeOOH}$ 与 Ag_3PO_4 异质结复合材料($\alpha\text{-FeOOH@Ag}_3\text{PO}_4$),通过促进光生载流子的分离来提升材料的光催化性能。首先采用简单的水热法来制备 $\alpha\text{-FeOOH}$ 微球,然后用原位沉积法将 Ag_3PO_4 纳米颗粒沉积在 $\alpha\text{-FeOOH}$ 微球表面,形成具有分级结构的 $\alpha\text{-FeOOH@Ag}_3\text{PO}_4$,并对该异质结复合材料的微观结构、光吸收性能、亚甲基蓝降解性能和光电性能进行了表征分析。本文所制备的 $\alpha\text{-FeOOH@Ag}_3\text{PO}_4$ 将在光催化治理水污染领域有着良好的发展前景。

1 实验部分

1.1 主要实验材料

七水硫酸亚铁($\text{FeSO}_4 \cdot 7\text{H}_2\text{O}$),丙三醇($\text{C}_3\text{H}_8\text{O}_3$),乙醇($\text{C}_2\text{H}_5\text{OH}$),均为分析纯,购自杭州高晶精细化工有限公司;磷酸氢二钠(Na_2HPO_4),分析纯,购自天津市科密欧化学试剂有限公司;硝酸银(AgNO_3),分析纯,购自常州市国宇环保科技有限公司。

1.2 $\alpha\text{-FeOOH}$ 微球的合成

首先,取 10 mL $\text{C}_3\text{H}_8\text{O}_3$ 添加到 70 mL 的去离子水中,在 25 ℃ 下剧烈搅拌 30 min 后得到混合溶

液。然后,称取 0.222 g $\text{FeSO}_4 \cdot 7\text{H}_2\text{O}$ 粉末,并超声分散于 $\text{C}_3\text{H}_8\text{O}_3$ 混合溶液中,剧烈搅拌 15 min。接着将上述混合溶液转移到 100 mL 聚四氟乙烯内衬中,装入不锈钢反应釜,在烘箱内以 120 ℃密封加热 12 h。最后取出反应釜,自然冷却至室温后将得到的目标产物用去离子水和无水乙醇洗涤若干次,在 60 ℃下干燥 6 h,即可得到橘黄色的 α -FeOOH 粉末。

1.3 α -FeOOH@ Ag_3PO_4 异质结复合材料的合成

首先,称取 88.9 mg 的 α -FeOOH 粉末,并超声分散于 200 mL 无水乙醇溶液中,在 25 ℃下剧烈搅拌。然后,称取 47 mg 的 Na_2HPO_4 粉末,并溶于 10 mL 去离子水中,形成混合溶液,备用。接着,待 α -FeOOH 粉末充分分散后,将配置好的 Na_2HPO_4 溶液以 3 s 1 滴的速率滴加到 α -FeOOH 溶液中,并保持剧烈搅拌。待 Na_2HPO_4 溶液滴加完毕,继续搅拌 30 min。同时称取 169.8 mg AgNO_3 ,并溶于 30 mL 去离子水中。随后,将配置好的 AgNO_3 溶液以 3 s 1 滴的速率滴加到之前溶液中,并保持剧烈搅拌。待 AgNO_3 溶液滴加完毕,继续搅拌 30 min。最后,将所得溶液放入离心机离心,得到浅黄色沉淀,并将所得的浅黄色沉淀用去离子水和无水乙醇洗涤若干次,在 60 ℃下干燥 6 h,即可得到浅黄色的 α -FeOOH@ Ag_3PO_4 。

1.4 光催化降解实验

常温常压下,在 100 mL Pyrex 玻璃反应器系统中进行光催化降解实验,目标污染物为亚甲基蓝(MB)。首先,将 30 mg 光催化材料(α -FeOOH、 Ag_3PO_4 和 α -FeOOH@ Ag_3PO_4)加入到 100 mL 质量浓度为 10 mg/L 的 MB 水溶液中(由于光催化剂的光催化性能不受 MB 溶液初始质量浓度的影响,故以 10 mg/L 为标准),将其超声 5 min,使之分散均匀,然后放入光化学反应器(光源选择 300 W 氙灯)中。光照时,MB 溶液保持剧烈搅拌,同时通过外部冷却盘管进行冷却,使反应温度保持在室温。在全光谱照射的条件下,每间隔 5 min 收集 4 mL 悬浮液,随后在 4000 r/min 下离心 5 min,最后使用分光光度计测量 MB 溶液光吸收值的变化。

1.5 测试与表征

通过 X 射线衍射仪(XRD, D8 Advance, Bruker)表征材料的物相组成,测试条件是 40 kV 和 40 mA, 2θ 的范围为 $10^\circ \sim 80^\circ$ 。采用扫描电子显微镜(SEM, Hitachi 4800)和高分辨率透射电子显微镜(TEM, JEM-2100)对光催化剂样品的微观结构、形貌和尺寸进行表征。通过 X 射线光电子能谱仪

(XPS, ESCALAB 250 XI, Thermo Fisher)表征样品表面的元素组成和化学状态,测试结果以碳 C 1 s (284.8 eV)峰进行校正。通过紫外—可见分光光度计(UV-2600, Shimadzu)和稳态瞬态荧光光谱仪(Pico Quant Fluo time 300)研究材料的光学性质。通过带有三电极系统的电化学工作站(VersaSTAT4, Princeton Applied Research)测试材料的光电化学性能,其中 Pt 电极作对电极,Ag/AgCl 电极作参比电极。

2 结果与讨论

2.1 α -FeOOH、 Ag_3PO_4 和 α -FeOOH@ Ag_3PO_4 的微观组成和结构分析

图 1 是 α -FeOOH 微球、 Ag_3PO_4 颗粒和 α -FeOOH@ Ag_3PO_4 纳米复合材料的 XRD 测试结果。对于 α -FeOOH 微球,在 17.7° 、 21.2° 、 33.2° 、 34.7° 、 36.6° 、 40.0° 、 41.2° 、 53.2° 、 59.1° 、 61.4° 、 63.3° 出现了明显的衍射峰,分别对应(020)、(110)、(130)、(021)、(111)、(121)、(140)、(221)、(160)、(002)、(320)晶面,与针铁矿 α -FeOOH 的标准卡片(JCPDS, No. 29-0713)匹配。 Ag_3PO_4 样品在 20.9° 、 29.7° 、 33.3° 、 36.6° 、 47.8° 、 52.7° 、 55.0° 、 57.3° 、 61.6° 、 71.9° 处的衍射峰对应于(110)、(200)、(210)、(211)、(310)、(222)、(320)、(321)、(400)、(421)晶面,与体心立方结构 Ag_3PO_4 的标准卡片(JCPDS, No. 06-0505)匹配。 α -FeOOH@ Ag_3PO_4 的 XRD 图谱在 34.7° 、 40.0° 、 41.2° 、 59.1° 、 63.3° 处出现了 α -FeOOH 的特征衍射峰,在 29.7° 、 55.0° 、 57.3° 出现了 Ag_3PO_4 的特征衍射峰,并无其他杂相峰出现,这表明 α -FeOOH @ Ag_3PO_4 是由 α -FeOOH 与 Ag_3PO_4 复合形成。

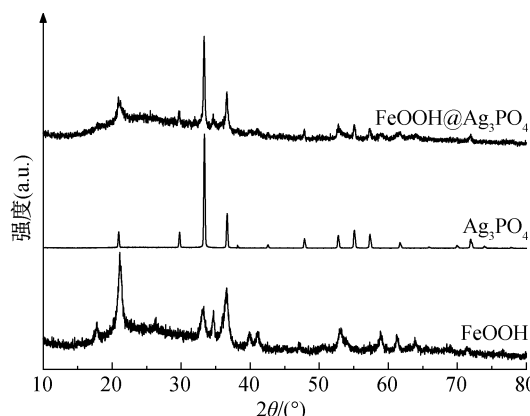


图 1 α -FeOOH、 Ag_3PO_4 和 α -FeOOH@ Ag_3PO_4 纳米复合材料的 XRD 图谱

图 2(a)和图 2(b)分别是 α -FeOOH 微球的低倍和高倍 SEM 图像,从图中可以看出: α -FeOOH 微球的尺寸约为 1 μm ,由层次分明的纳米片构成。图 2(c)和图 2(d)分别为 α -FeOOH@ Ag_3PO_4 的

SEM 图像和 TEM 图像,从图中可以看出: Ag_3PO_4 纳米颗粒均匀分布在 α -FeOOH 片层结构中, Ag_3PO_4 纳米颗粒尺寸约为 3~8 nm,颗粒分布密集且均匀,并未出现大面积团聚。

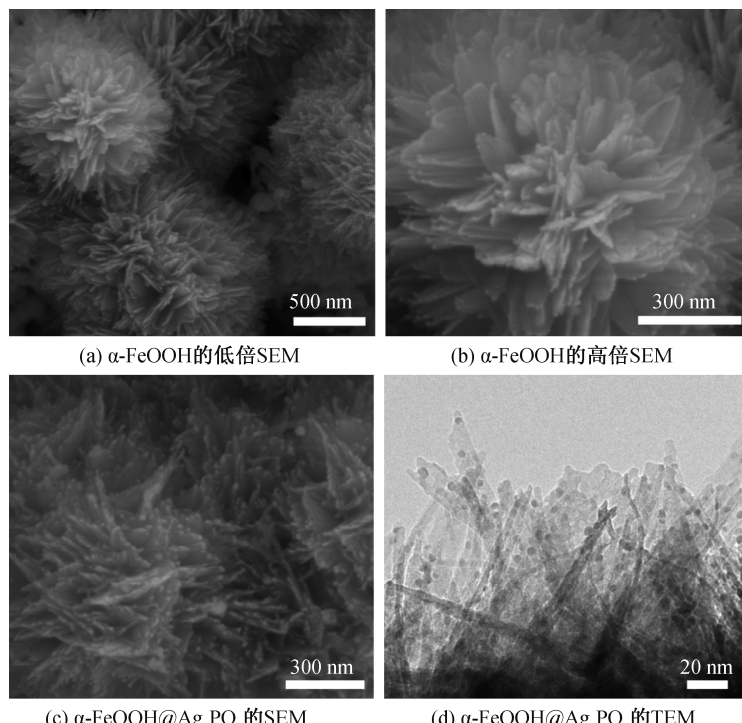
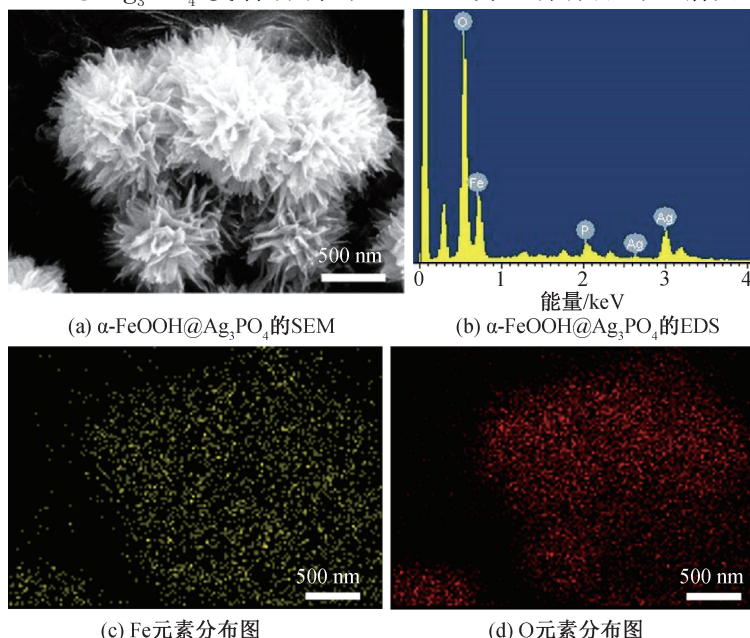


图 2 α -FeOOH、 Ag_3PO_4 和 α -FeOOH@ Ag_3PO_4 的 SEM 图像和 TEM 图像

通过 EDS 对样品进行元素分析,结果如图 3(a)和图 3(b)所示。元素质量百分比和原子百分比数据列于表 1。 α -FeOOH@ Ag_3PO_4 复合材料中出现了 Fe、O、Ag、P 元素,其中 Ag 和 P 的原子百分比接近 3:1,与 Ag_3PO_4 中 Ag 和 P 的化学计量比一致。图 3(c)~(f)为 α -FeOOH@ Ag_3PO_4 复合材料的

EDX 表征结果,从图中可以看到,Fe、O、Ag、P 元素在样品中分布均匀,进一步表明 Ag_3PO_4 纳米颗粒均匀负载在 α -FeOOH 表面。

通过 XPS 测试分析 α -FeOOH、 Ag_3PO_4 以及其复合材料的元素化学价态,结果如图 4 所示。图 4(a)为三种样品的全谱图,除了 C 1 s 外,仅存在



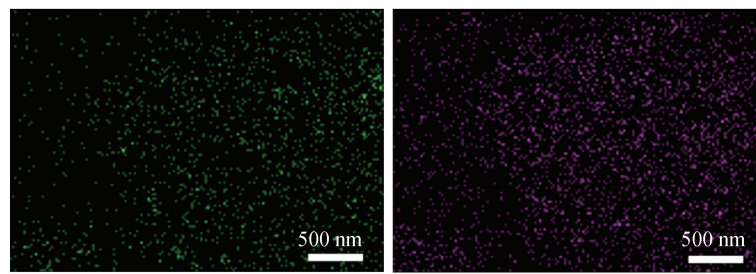


图 3 α -FeOOH@ Ag_3PO_4 的 SEM 图像、EDS 谱图及 Fe、O、Ag、P 的元素分布图

表 1 α -FeOOH@ Ag_3PO_4 的 EDS 元素重量百分比及原子百分比

元素	质量百分比/%	原子百分比/%
P	1.61	1.61
Ag	16.55	4.76
O	34.81	67.51
Fe	47.03	26.13

Fe、O、Ag、P 的特征峰。图 4(b)为 Fe 2p 谱, α -FeOOH 在 711.5 eV 和 724.6 eV 结合能处有两个特征峰, 分别对应于 Fe^{3+} 的 $\text{Fe} 2p_{3/2}$ 和 $\text{Fe} 2p_{1/2}$ 电子轨道, 而在复合材料中两个峰均向高结合能偏移了 0.2 eV。图 4(c)是 Ag 3d 谱, 在 Ag_3PO_4 和复合材料中均可以看到 Ag^+ 的 $\text{Ag} 3d_{5/2}$ 和 $\text{Ag} 3d_{3/2}$ 特征峰, 但是在复合材料中 Ag^+ 的特征峰向低结合能偏移了 0.2 eV。图 4(d)是 P 2p 谱, 其在复合材料中的特征峰向低结合能偏移了 0.2 eV。这是由于 Ag 和 P 相较于 Fe 具有更强的电负性, 在 α -FeOOH@ Ag_3PO_4 中 Fe 的外层孤对电子会向 Ag 和 P 偏移, 从而导致 Fe 原子核对外层电子的束缚能力增强, 结合能变大。相反地, 当 Ag 和 P 外层电子密度增加, 原子核对外层电子的束缚力减小, 结合能降低。Fe、Ag 和 P 元素结合能的变化表明复合材料中 α -FeOOH 和 Ag_3PO_4 之间存在相互作用, 形成了异质结。

2.2 α -FeOOH、 Ag_3PO_4 和 α -FeOOH@ Ag_3PO_4 的光吸收性能分析

使用紫外-可见分光光度计对 α -FeOOH 微球、 Ag_3PO_4 颗粒和 α -FeOOH@ Ag_3PO_4 的光吸收能力进行测试, 结果如图 5(a)所示。 Ag_3PO_4 和 α -FeOOH 的吸收边分别为 540 nm 和 640 nm, α -FeOOH@ Ag_3PO_4 的吸收边相对于 Ag_3PO_4 发生了明显的红移。根据 Kubelka-Munk 公式模拟计算进一步得到 α -FeOOH 和 Ag_3PO_4 的禁带宽度, 分别为 2.1 eV 和 2.4 eV, α -FeOOH@ Ag_3PO_4 的计算带隙为 1.8 eV, 结果如图 5(b)所示。

2.3 α -FeOOH、 Ag_3PO_4 和 α -FeOOH@ Ag_3PO_4 的光催化性能分析

所有样品加入 MB 溶液后, 在黑暗条件下搅拌 30 min 达到吸一脱附平衡, 通过测试 MB 浓度的变化评估材料的吸附性能。如图 6(a)所示, α -FeOOH 和 Ag_3PO_4 对 MB 的吸附率分别只有 1.0% 和 3.6%, 而 α -FeOOH@ Ag_3PO_4 的吸附率达到了 10.8%, 表明复合材料提供了更多的吸附位点。通过光催化降解 MB 来评价光催化性能。图 6(b)显示了光照条件下 MB 的降解曲线。 α -FeOOH@ Ag_3PO_4 在 15 min 即可以实现 MB 的降解, 明显优于单一的 Ag_3PO_4 和 α -FeOOH。图 6(c)拟合了光催化降解 MB 的速率, α -FeOOH@ Ag_3PO_4 降解 MB 的速率约为 Ag_3PO_4 的 1.8 倍, 约为 α -FeOOH 的 75.0 倍。

为了进一步探究 α -FeOOH@ Ag_3PO_4 光催化机理, 本文通过捕获实验检测参与 MB 降解反应的活性基团。采用的捕获剂分别为乙二胺四乙酸二钠($\text{Na}_2\text{-EDTA}$, h^+ 捕获剂)、对苯醌(BQ, O_2^- 捕获剂)以及异丙醇(IPA, $\cdot\text{OH}$ 捕获剂)。如图 6(d)所示, 从图中可以看出, h^+ 捕获剂对光催化降解速率影响最大, $\cdot\text{OH}$ 次之, 而当加入 O_2^- 捕获剂的影响较小。根据结果推测, 在 α -FeOOH@ Ag_3PO_4 降解 MB 的过程中, h^+ 和 $\cdot\text{OH}$ 为主要活性基团。

2.4 α -FeOOH、 Ag_3PO_4 和 α -FeOOH@ Ag_3PO_4 的光电性能分析

为了探究光催化材料中载流子分离和传输性质, 本文使用荧光光谱仪和电化学工作站对材料进行测试分析。图 7(a)为样品的光致发光谱图, Ag_3PO_4 的发光峰大约为 540 nm, 当其与 α -FeOOH 复合后, 复合材料的发光峰的强度明显减弱, 这表明复合材料的光生电子和空穴得到了有效的分离, 辐射复合减少, 更多的光生电子空穴可以参与到光催化反应。

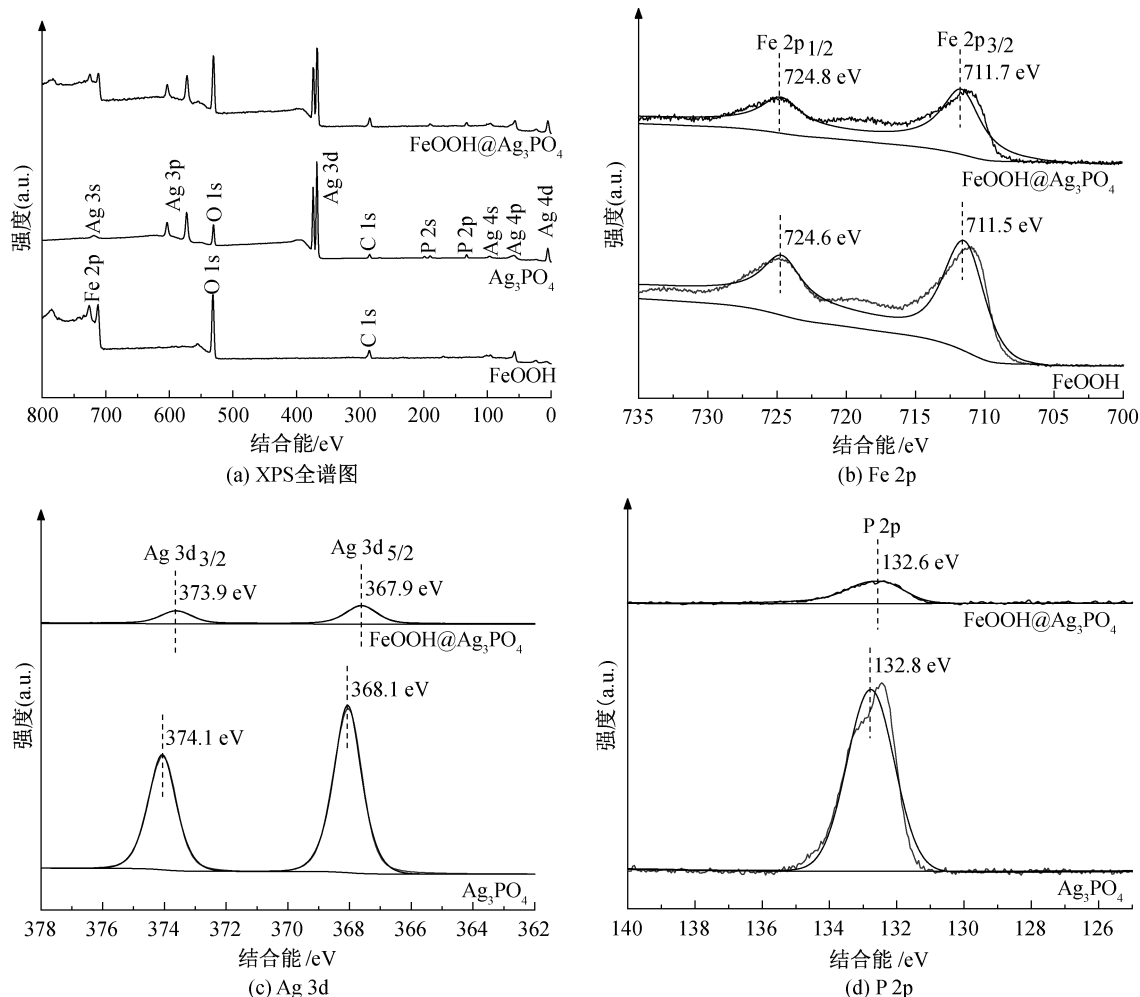


图 4 α -FeOOH、 Ag_3PO_4 和 α -FeOOH@ Ag_3PO_4 的 XPS 全谱图以及 Fe、Ag、P 的 XPS 谱图

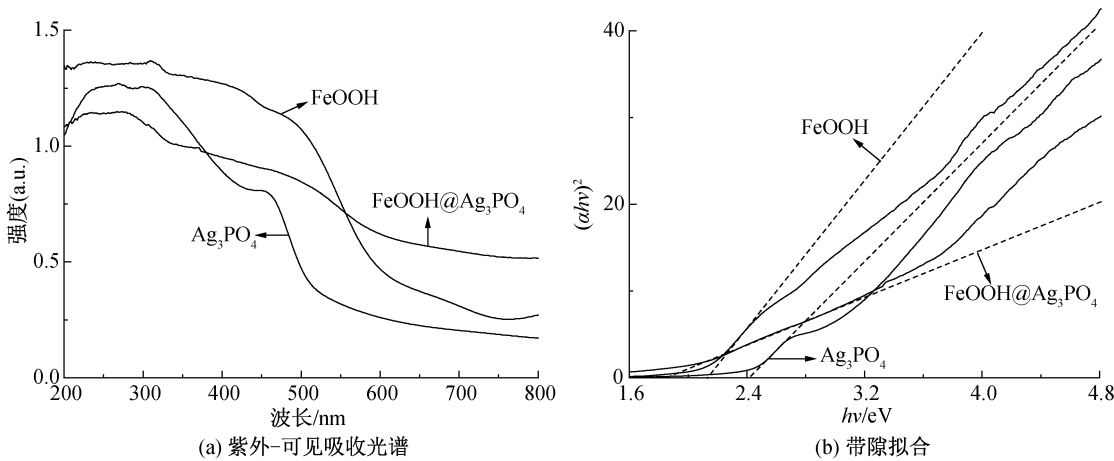


图 5 α -FeOOH、 Ag_3PO_4 和 α -FeOOH@ Ag_3PO_4 的紫外-可见吸收光谱图及带隙拟合图

图 7(b) 是瞬态光电流响应测试结果。 α -FeOOH@Ag₃PO₄ 的最大光电流密度为 $9.8 \mu\text{A}/\text{cm}^2$ ，明显高于 α -FeOOH ($0.8 \mu\text{A}/\text{cm}^2$) 和 Ag₃PO₄ ($8.9 \mu\text{A}/\text{cm}^2$)，进一步表明 α -FeOOH@Ag₃PO₄ 促进了光生载流子的分离和传输。随着光照时间的

增加，Ag₃PO₄ 的光电流密度出现了明显的衰减，表明其受到了严重光腐蚀。经过 1600 s 的光照后，Ag₃PO₄ 的光电流密度衰减了 85%，而 α -FeOOH@Ag₃PO₄ 的光电流密度虽然也有一定程度的衰减，但相较于 Ag₃PO₄ 稳定性显著提升。

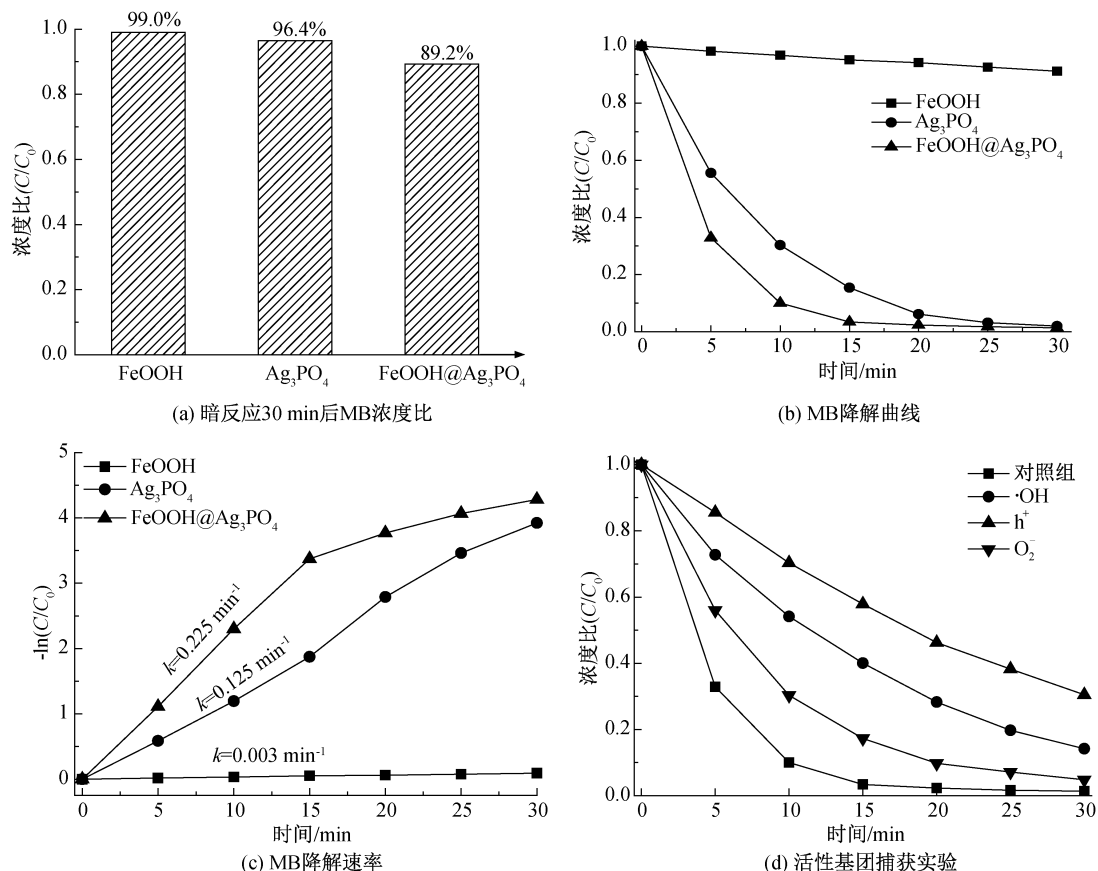
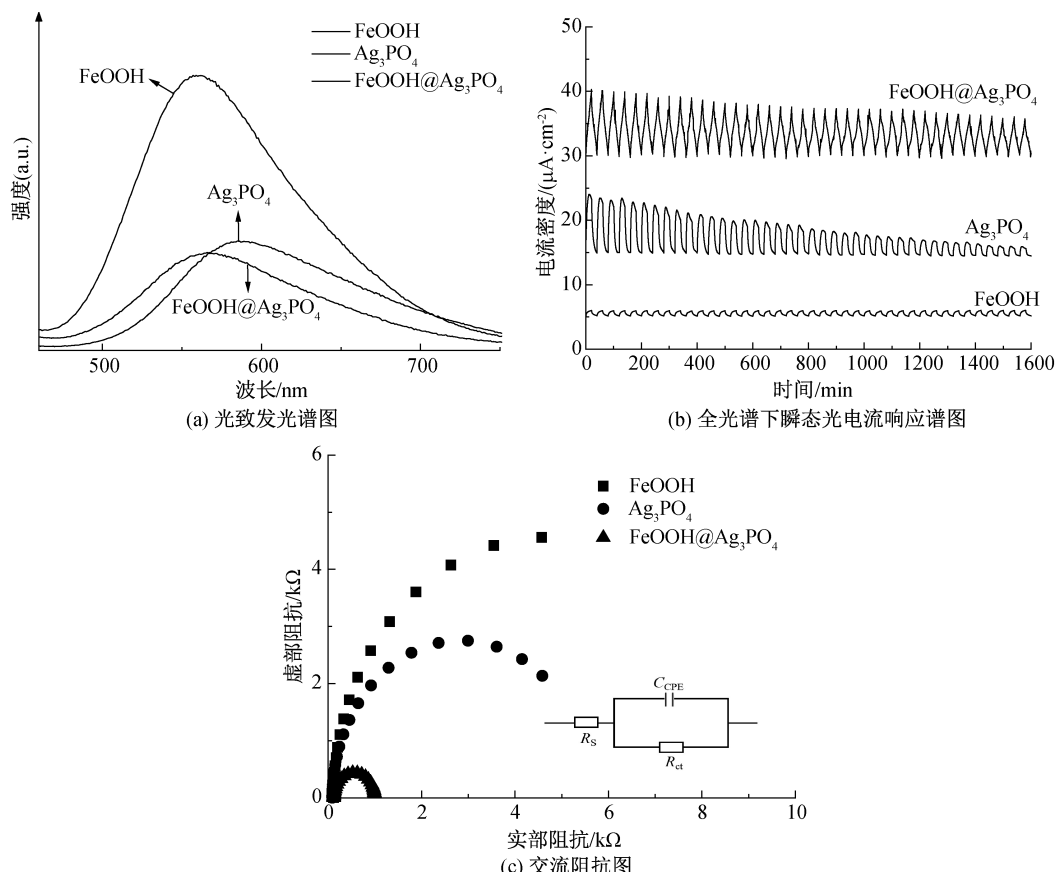
图6 α -FeOOH、 Ag_3PO_4 和 α -FeOOH@ Ag_3PO_4 的光催化降解 MB 实验及捕获实验结果图7 α -FeOOH、 Ag_3PO_4 和 α -FeOOH@ Ag_3PO_4 的光致发光谱图、交流阻抗图及瞬态光电流响应谱图

图 7(c)为光催化材料电极的电化学交流阻抗图以及等效电路图。ZSimDemo 软件拟合数据如表 2 所示, R_s 表示溶液电阻, R_{ct} 表示样品与溶液间的电荷转移电阻, C_{CPE} 表示常相位角元件电容。 α -FeOOH 和 Ag_3PO_4 的 R_{ct} 较大, 而当两者复合形成 α -FeOOH@ Ag_3PO_4 异质结后, R_{ct} 显著减小, 加快了光生载流子在材料表面的转移。

表 2 电化学交流阻抗等效电路拟合数据

样品	R_s/Ω	$R_{ct}/\text{k}\Omega$	$C_{CPE} \times 10^5/\text{F}$
α -FeOOH	115.6	9.1	1.785
Ag_3PO_4	92.18	5.5	1.372
α -FeOOH@ Ag_3PO_4	121.00	0.9	1.563

2.5 α -FeOOH@ Ag_3PO_4 的光催化反应机理分析

根据 Mulliken 电负性理论, $E_{CB} = X - 0.5E_g - E_0$, 其中: E_{CB} 表示导带位置, eV; X 表示半导体的绝对电负性的几何平均数, E_g 表示禁带宽度(通过紫外—可见吸收图谱得到), eV; E_0 表示真空能级与标准氢电极电位之间的差值($E_0 = 4.5$ eV vs NHE), eV。根据已有文献, α -FeOOH 和 Ag_3PO_4 的几何平均数分别为 6.38^[21] 和 6.16^[22]。经计算, α -FeOOH 和 Ag_3PO_4 的导带位置分别为 0.83 eV 和 0.46 eV, 价带位置分别为 2.93 eV 和 2.86 eV。

基于能带位置和光电性能分析, 本文推断 α -FeOOH@ Ag_3PO_4 构成了典型的 type-II 型异质结, α -FeOOH@ Ag_3PO_4 光催化机理图如图 8 所示。在全光谱照射下, α -FeOOH 与 Ag_3PO_4 都能受到光的激发, α -FeOOH 因电子跃迁在价带上留下的相同数量的空穴会向 Ag_3PO_4 的价带转移, 空穴可以直接氧化 MB, 同时部分空穴也会与水反应转变成 $\cdot\text{OH}$ 参与 MB 降解反应。 Ag_3PO_4 产生的光生电子往 α -FeOOH 的导带上转移, 但 α -FeOOH 的导带电位(0.83 eV)高于 O_2/O_2^- (-0.33 eV)的还原电位, 所以没有足够的能力产生 O_2^- , 这也与捕获实验中 O_2^- 捕获剂对降解反应影响小的结果一致。综上所述, 在 α -FeOOH@ Ag_3PO_4 降解 MB 的光催化反应中活性基团主要为 h^+ 和 $\cdot\text{OH}$ 。需要说明的是, 由于 Ag_3PO_4 的尺寸很小, 只有 3~8 nm, 所以 Ag_3PO_4 和 α -FeOOH 之间的载流子传输效率很高, 在光催化过程中 α -FeOOH@ Ag_3PO_4 可以对 MB 表现出更强的氧化性。另外, α -FeOOH@ Ag_3PO_4 对有机污染物的降解能力取决于 h^+ 和 $\cdot\text{OH}$ 的氧化能力和光生载流子的分离能力。降解实验、PL、光电流、EIS 测试结果已经表明, α -FeOOH

@ Ag_3PO_4 异质结可以有效促进光生载流子的分离和 h^+ 、 $\cdot\text{OH}$ 的产生, 结合已有 Ag_3PO_4 基光催化材料文献^[23-24], 本文认为 α -FeOOH@ Ag_3PO_4 对于其他有机污染物(MO、RhB 等)也会有良好的光催化降解效果。

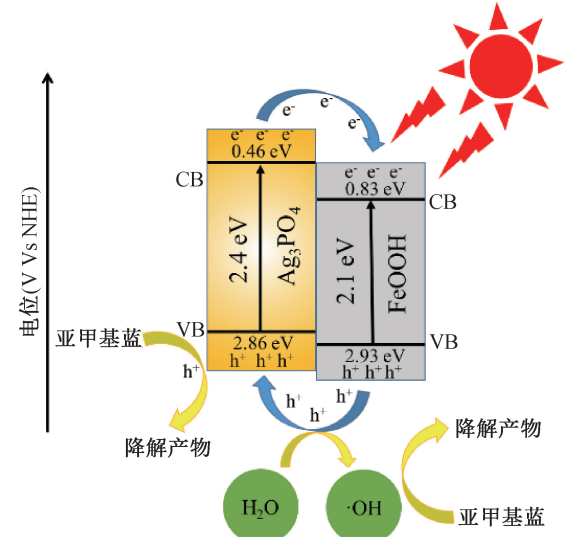


图 8 α -FeOOH@ Ag_3PO_4 的光催化机理示意图

3 结 论

本文采用水热法制备由纳米片组装形成的 α -FeOOH 微球, 随后使用原位沉积法在微球上沉积 Ag_3PO_4 纳米颗粒, 得到 α -FeOOH 与 Ag_3PO_4 异质结复合材料, 系统研究了异质结材料的物相组成、微观结构、降解性能和光电性能, 所得主要结论如下:

- a) 具有分级结构的 α -FeOOH 微球有利于控制 Ag_3PO_4 颗粒的尺寸和分布, 制备所得 Ag_3PO_4 颗粒尺寸为 3~8 nm, XRD、EDS 和 XPS 结果表明两种材料复合良好, 已形成异质结, 而非简单的混合。
- b) 光吸收性能测试表明 α -FeOOH@ Ag_3PO_4 具有更宽的光响应范围; 光催化性能测试表明 α -FeOOH@ Ag_3PO_4 光催化性能有了较大的提升, 复合材料降解 MB 速率是 α -FeOOH 的 75.0 倍, 是 Ag_3PO_4 的 1.8 倍, 光催化反应的主要活性基团为 h^+ 和 $\cdot\text{OH}$ 。

c) 光致发光谱图中 α -FeOOH@ Ag_3PO_4 的发光峰明显低于 α -FeOOH 与 Ag_3PO_4 的发光峰, 且 α -FeOOH@ Ag_3PO_4 具有更大的光电流密度和更小的阻抗, 显示出 α -FeOOH@ Ag_3PO_4 具有良好的光生电子—空穴对分离效率。

d) α -FeOOH@ Ag_3PO_4 为典型 Type-II 型半导体异质结, 异质结提高了载流子的分离效率, 从而表

现出更强的光催化氧化性。

综上可知, α -FeOOH@Ag₃PO₄相较于纯的 α -FeOOH和Ag₃PO₄, 在光吸收和光催化氧化等方面性能都有了较为明显的提升, 为半导体材料光催化反应处理水污染问题提供了一种有效的途径。

参考文献:

- [1] Giannakis S. A review of the concepts, recent advances and niche applications of the (photo) Fenton process, beyond water/wastewater treatment: Surface functionalization, biomass treatment, combatting cancer and other medical uses [J]. Applied Catalysis B: Environmental, 2019, 248: 309-319.
- [2] Maeda K, Mallouk T E. Two-dimensional metal oxide nanosheets as building blocks for artificial photosynthetic assemblies[J]. Bulletin of the Chemical Society of Japan, 2019, 92(1): 38-54.
- [3] Roy N, Suzuki N, Terashima C, et al. Recent improvements in the production of solar fuels: From CO₂ reduction to water splitting and artificial photosynthesis[J]. Bulletin of the Chemical Society of Japan, 2019, 92(1): 178-192.
- [4] Teng F, Liu Z L, Zhang A, et al. Photocatalytic performances of Ag₃PO₄ polypods for degradation of dye pollutant under natural indoor weak light irradiation[J]. Environmental Science & Technology, 2015, 49 (16): 9489-9494.
- [5] Cai T, Liu Y T, Wang L L, et al. Silver phosphate-based Z-Scheme photocatalytic system with superior sunlight photocatalytic activities and anti-photocorrosion performance[J]. Applied Catalysis B: Environmental, 2017, 208: 1-13.
- [6] Grilla E, Petala A, Frontistis Z, et al. Solar photocatalytic abatement of sulfamethoxazole over Ag₃PO₄/WO₃ composites [J]. Applied Catalysis B: Environmental, 2018, 231: 73-81.
- [7] 怀燕瑾, 岳喜龙, 吴彤, 等. Ag₃PO₄/g-C₃N₄复合材料的光催化及抗菌性能[J]. 能源研究与管理, 2022, 14 (4): 110-115.
- [8] Patil S S, Patil D R, Apte S K, et al. Confinement of Ag₃PO₄ nanoparticles supported by surface plasmon resonance of Ag in glass: Efficient nanoscale photocatalyst for solar H₂ production from waste H₂S [J]. Applied Catalysis B: Environmental, 2016, 190: 75-84.
- [9] Mohanty S, Babu P, Parida K, et al. Surface-plasmon-resonance-induced photocatalysis by core-shell SiO₂@AgNCs @ Ag₃PO₄ toward water-splitting and phenol oxidation reactions[J]. Inorganic Chemistry, 2019, 58 (15): 9643-9654.
- [10] Zhang Y Y, Wang L L, Park S H, et al. Single near-infrared-laser driven Z-scheme photocatalytic H₂ evolution on upconversion material@Ag₃PO₄@black phosphorus[J]. Chemical Engineering Journal, 2019, 375: 121967.
- [11] Chen X J, Dai Y Z, Wang X Y, et al. Synthesis and characterization of Ag₃PO₄ immobilized with graphene oxide (GO) for enhanced photocatalytic activity and stability over 2, 4-dichlorophenol under visible light irradiation[J]. Journal of Hazardous Materials, 2015, 292: 9-18.
- [12] Wang H, Bai Y S, Yang J T, et al. A facile way to rejuvenate Ag₃PO₄ as a recyclable highly efficient photocatalyst [J]. Chemistry-A European Journal, 2012, 18(18): 5524-5529.
- [13] Hayati F, Moradi S, Farshinbeh Saei S, et al. A novel, Z-scheme ZnO@AC@FeO photocatalyst, suitable for the intensification of photo-mediated peroxyomonosulfate activation: Performance, reactivity and bisphenol A degradation pathways [J]. Journal of Environmental Management, 2022, 321: 115851.
- [14] Li Z, Zhang J M, Wu R J, et al. An S-scheme α -Fe₂O₃/g-C₃N₄ heterojunction nanostructure with superior visible-light photocatalytic activity for the aza-Henry reaction[J]. Journal of Materials Chemistry C, 2022, 10(45): 17075-17083.
- [15] Alexpandi R, Abirami G, Murugesan B, et al. Tocopherol-assisted magnetic Ag-Fe₃O₄-TiO₂ nanocomposite for photocatalytic bacterial-inactivation with elucidation of mechanism and its hazardous level assessment with zebrafish model[J]. Journal of Hazardous Materials, 2023, 442: 130044.
- [16] Muñiz G, Fierro V, Celzard A, et al. Synthesis, characterization and performance in arsenic removal of iron-doped activated carbons prepared by impregnation with Fe(Ⅲ) and Fe(Ⅱ)[J]. Journal of Hazardous Materials, 2009, 165(1/2/3): 893-902.
- [17] Wang Y, Fang J S, Crittenden J C, et al. Novel RGO/ α -FeOOH supported catalyst for Fenton oxidation of phenol at a wide pH range using solar-light-driven irradiation[J]. Journal of Hazardous Materials, 2017, 329: 321-329.
- [18] Yu B Y, Kwak S Y. Carbon quantum dots embedded with mesoporous hematite nanospheres as efficient visible light-active photocatalysts [J]. Journal of

- Materials Chemistry, 2012, 22(17): 8345-8353.
- [19] Huang Y, Gao Y X, Zhang Q, et al. Biocompatible FeOOH-Carbon quantum dots nanocomposites for gaseous NO_x removal under visible light: Improved charge separation and High selectivity. [J]. Journal of Hazardous Materials, 2018, 354:54-62.
- [20] 吴鹏飞, 陶鹏仙, 孟宪栋, 等. α -FeOOH 光催化材料的设计调控及其处理有机废水的应用[J]. 应用化工, 2022, 51(1): 138-143.
- [21] Malathi A, Arunachalam P, Madhavan J, et al. Rod-on-flake α -FeOOH/BiOI nanocomposite: Facile synthesis, characterization and enhanced photocatalytic performance [J]. Colloids and Surfaces, A. Physicochemical and Engineering Aspects, 2018, 537:435-445.
- [22] Chen Z H, Wang W L, Zhang Z G, et al. High-efficiency visible-light-driven Ag₃PO₄/AgI photocatalysts: z-scheme photocatalytic mechanism for their enhanced photocatalytic activity[J]. The Journal of Physical Chemistry C, 2013, 117(38): 19346-19352.
- [23] Zhang Y, Duoerkun G, Shi Z, et al. Construction of TiO₂/Ag₃PO₄ nanojunctions on carbon fiber cloth for photocatalytically removing various organic pollutants in static or flowing wastewater[J]. Journal of Colloid and Interface Science, 2020, 571: 213-221.
- [24] Nguyen N T A, Kim H. Ag₃PO₄-deposited TiO₂ @ Ti₃C₂ petals for highly efficient photodecomposition of various organic dyes under solar light [J]. Nanomaterials, 2022, 12(14): 2464.

(责任编辑:刘国金)